

CH8.Failure

基本概念

1.Simple fracture→應力為靜態，且在比熔點還低的溫度下，物體分成多塊
先只討論單軸拉伸，依據經歷的塑性變形，可分為 brittle、ductile 兩種破裂型式

2.任何 fracture process 有 2 個步驟

→crack 形成

→propagation→與 fracture mode 很有關係

3.延性破裂→extensive plastic deformation in the vicinity(附近) of an advancing crack→慢→stable，意即除非應力增加，會抵擋進一步 crack 擴張

4.脆性破裂→crack 擴張很快，且沒啥塑變→unstable，一但發生不需再額外加應力

*延性較討喜

脆性破壞比延性破壞常見!(延性破壞有大量塑性變形，好預防，也可提前換零件)

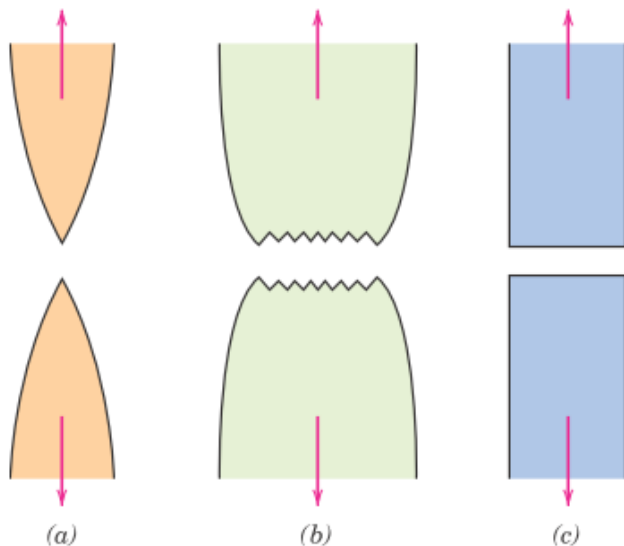


Figure 8.1 (a) Highly ductile fracture in which the specimen necks down to a point. (b) Moderately ductile fracture after some necking. (c) Brittle fracture without any plastic deformation.

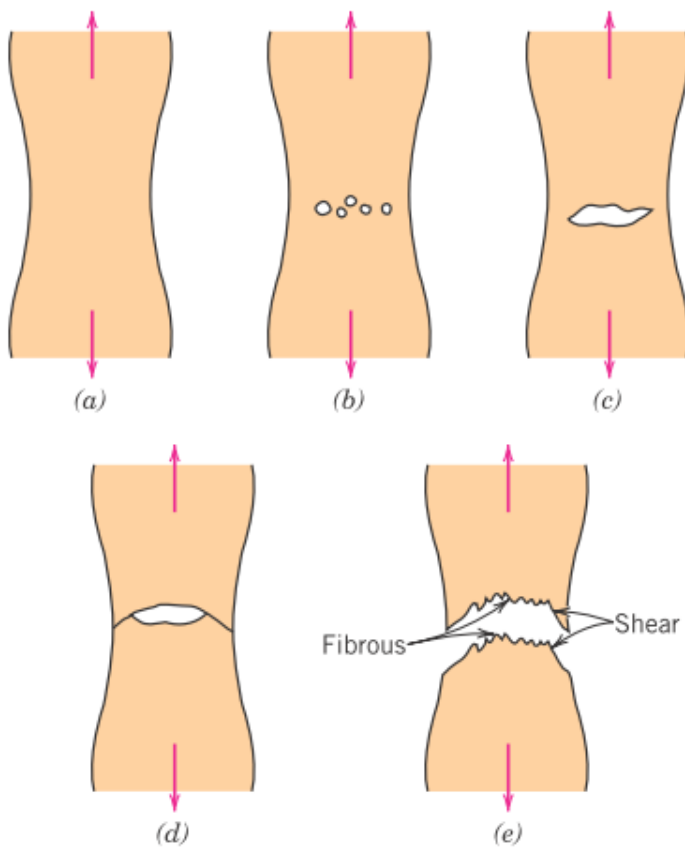


Figure 8.2 Stages in the cup-and-cone fracture. (a) Initial necking. (b) Small cavity formation. (c) Coalescence of cavities to form a crack. (d) Crack propagation. (e) Final shear fracture at a 45° angle relative to the tensile direction. (From K. M. Ralls, T. H. Courtney, and J. Wulff, *Introduction to Materials Science and Engineering*, p. 468. Copyright © 1976 by John Wiley & Sons, New York. Reprinted by permission of John Wiley & Sons, Inc.)

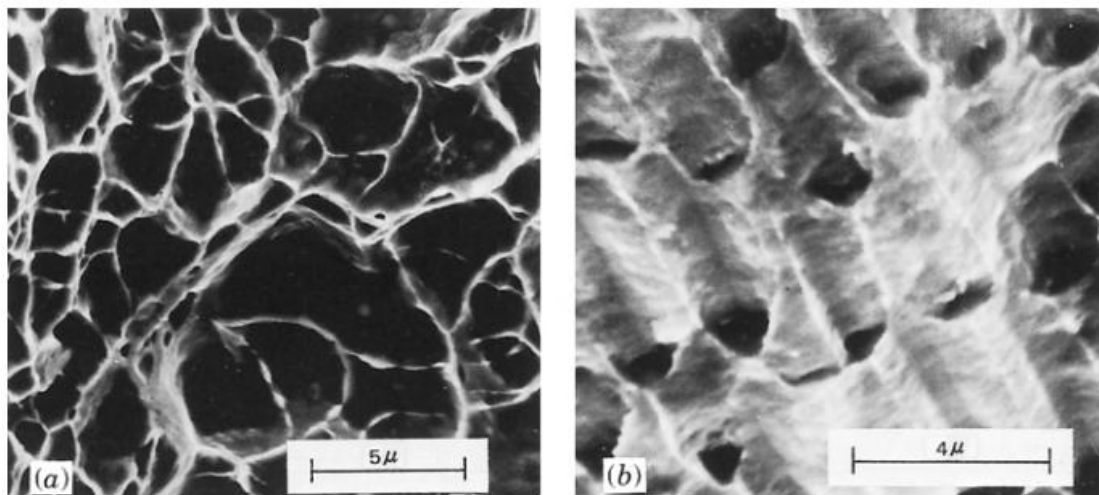
延性破壞三階段

1. necking, cavities form
2. cavities coalescence, form crack, propagates toward 試片表面，方向垂直施加應力方向
3. crack 達表面， 45° ，**cup-and-cone**

脆性破壞三階段

1. 由於塑性變形，差排在 slip plane 聚集
2. 差排受阻的地方 shear stress 增加，microcracks are nucleated
3. microcracks 由於 shear stress 的增加，和儲存的彈性應變能，而 propagate

Fractographic → 破裂機構的研究 → 通常使用 **SEM**，因為比光學顯微鏡有更好的解析度和景深 → 可延究 fracture mode、應力態、site of crack initiation
當觀察 fibrous central region of a cup-and-cone fracture，可以看到很多球 dimple，這是單軸拉伸破壞的特徵！



*看到圖要知道這是在研究 fracture!

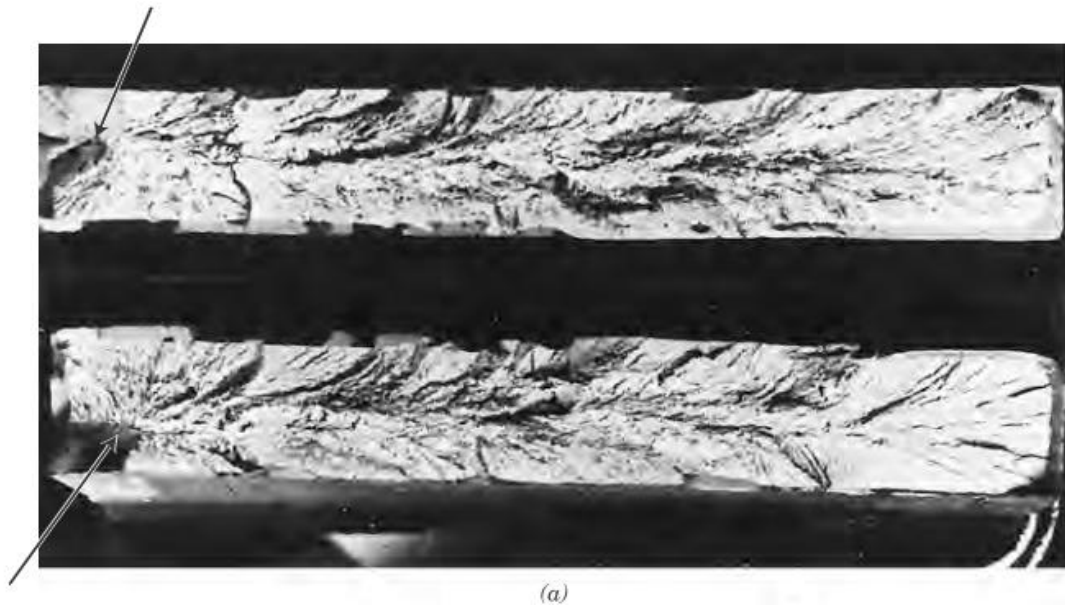
延性破壞的表面特徵

Dull、fibrous、cup-and-cone

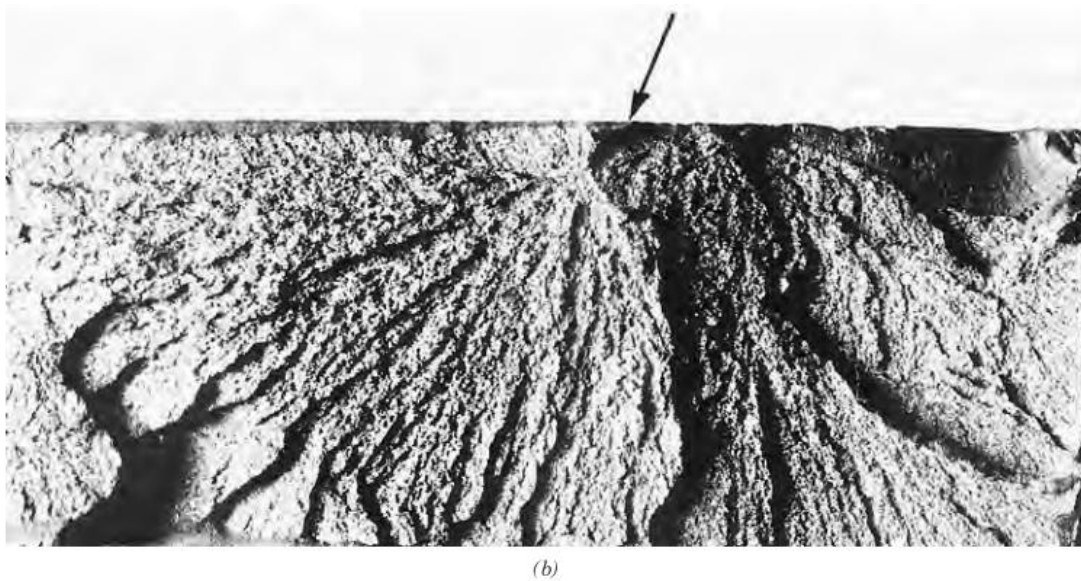
脆性破壞的特徵

Shinny with flat

V-shaped chevron → 再 center of the fracture cross section 產生，並向後指出裂縫起始位置(箭頭處)

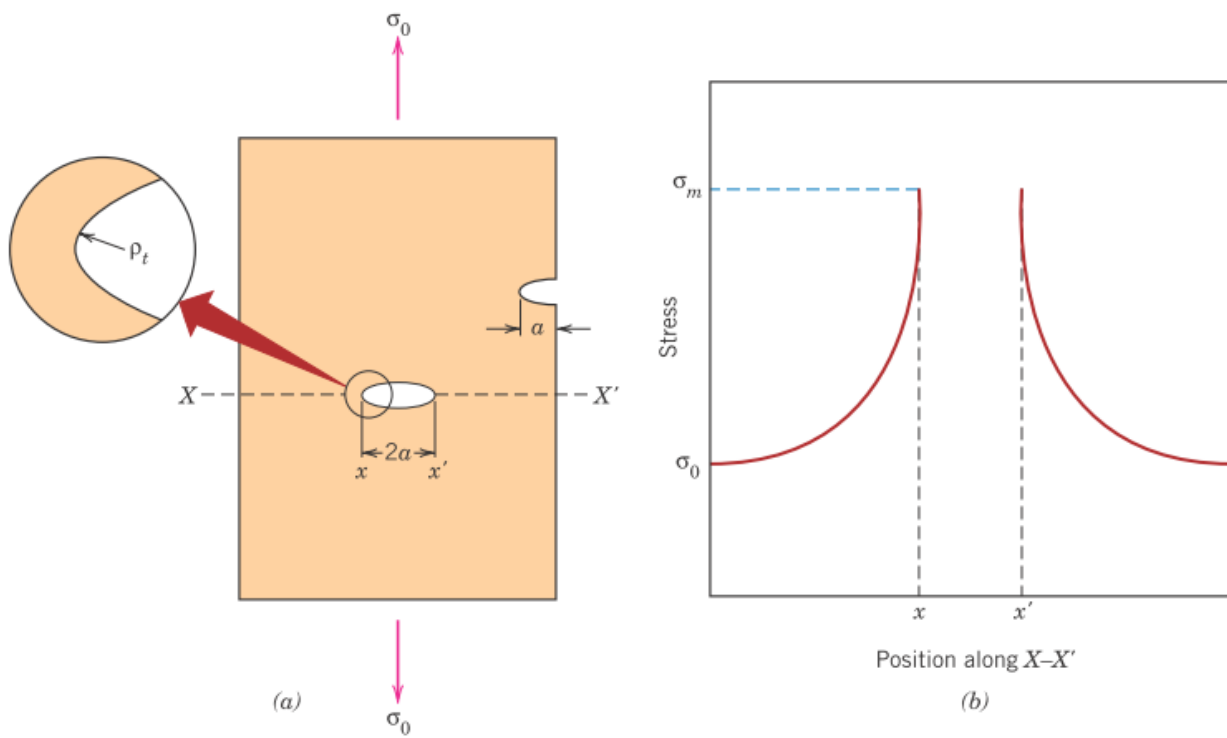


Other brittle fracture surfaces contain lines or ridges that radiate from the origin of the crack in a fanlike pattern(箭頭為 crack 起始處)



大部分脆材→穿晶 transgranular

某些合金→延晶 intergranular→由於晶界區域弱化、脆化



$$\sigma_m = 2\sigma_0 \left(\frac{a}{\rho_t} \right)^{1/2} \quad K_t = \frac{\sigma_m}{\sigma_0} = 2 \left(\frac{a}{\rho_t} \right)^{1/2}$$

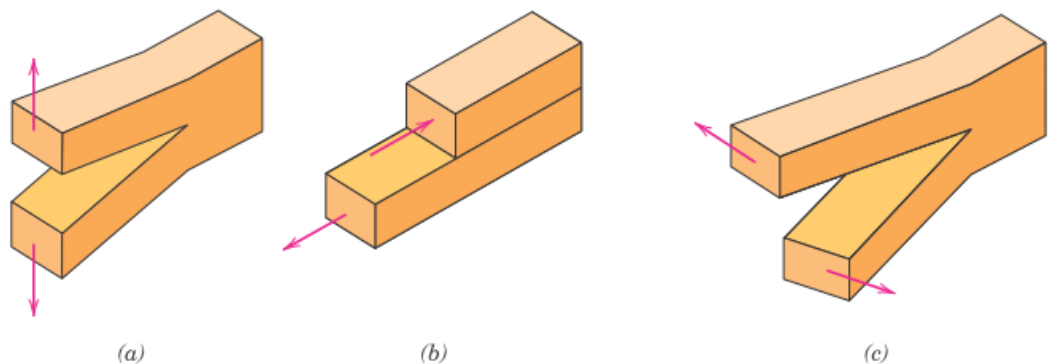
Critical stress for crack propagation in a brittle material

$$\sigma_c = \left(\frac{2E\gamma_s}{\pi a} \right)^{1/2}$$

Fracture toughness—dependence on critical stress for crack propagation and crack length

$$K_c = Y\sigma_c \sqrt{\pi a}$$

Figure 8.10 The three modes of crack surface displacement. (a) Mode I, opening or tensile mode; (b) mode II, sliding mode; and (c) mode III, tearing mode.



衝擊破裂試驗

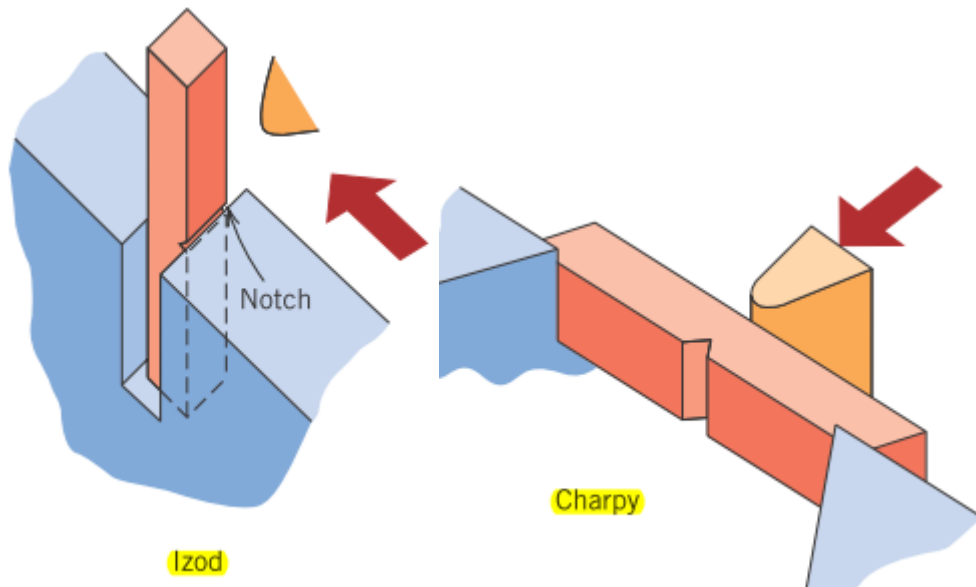
拉伸試驗不能延用來預測破裂行為

衝擊試驗被選用以更嚴苛的情形

1. 相對低溫 2. 高應變速率 3. 三軸應力狀態(藉凹痕)

Charpy and Izod，用來測量 impact energy，有時叫 notch toughness

2 者差異為試片支撐方式



plane strain fracture toughness → quantitative 定量

impact tests → qualitative 定性，相對比較

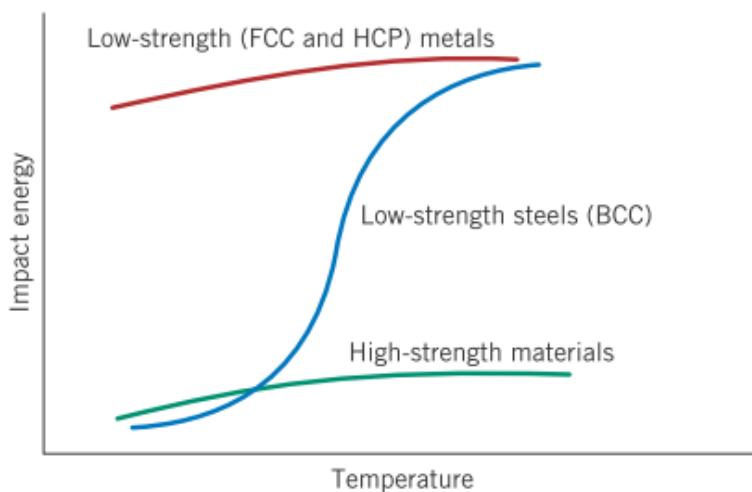
2 者不好關聯起來

Ductile-to-Brittle

轉變溫度可藉由觀察破壞表面來決定

Ductile → fibrous & dull (or shear character)

Brittle → granular (shiny) texture (or cleavage)



而轉變溫度 2 種特徵都有

Low-strength FCC 和大部分 HCP 不會脆轉

低碳鋼 BCC

高碳鋼

Ti 合金

對於容易脆轉的材料

(低碳鋼) ,

晶粒減小→脆轉溫度下降(更延) *晶粒減小→可以同時 strengthen and toughen
增加碳含量→提高脆轉溫度(更脆)

*我們希望的是降低脆轉溫度!因為延比較棒

Fatigue failure

dynamic and fluctuating stresses

無論脆性或延性，brittlelike，塑性變形很小，破裂面垂直應力

Mean stress→平均

Range stress→最大-最小

Stress amplitude→range 的一半

Stress ratio→最小/最大 EX.反覆應力循環 $R = -1$

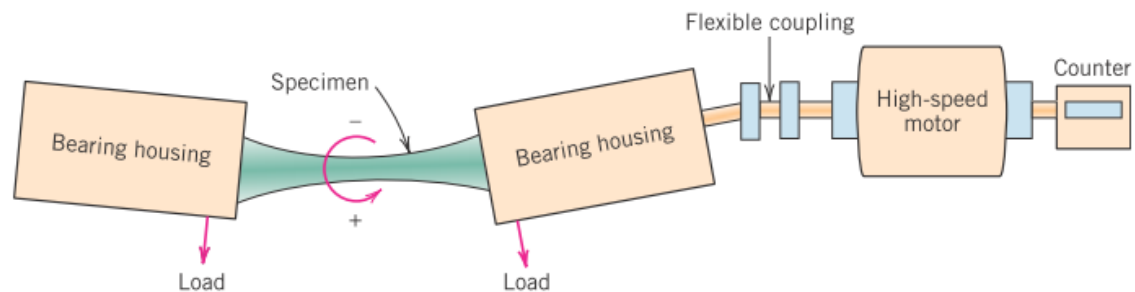
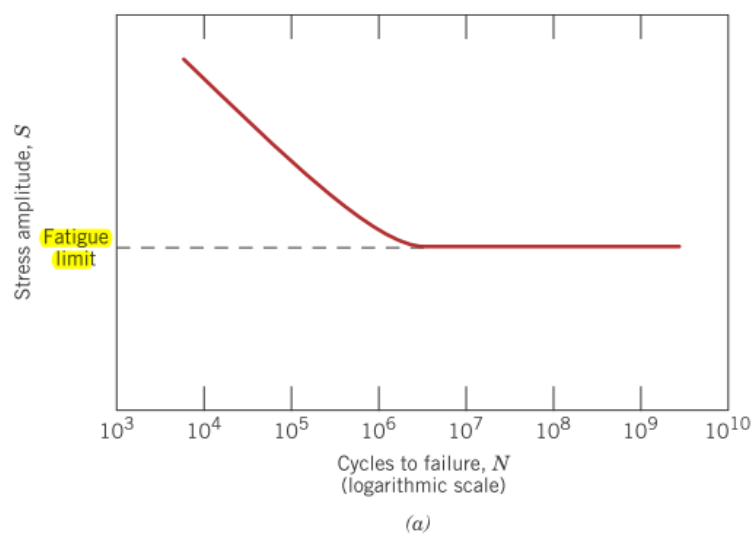


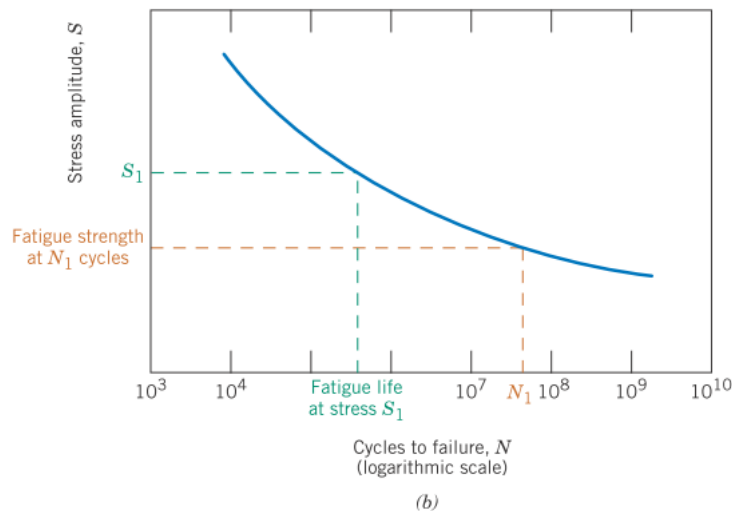
Figure 8.18 Schematic diagram of **fatigue-testing apparatus for making rotating-bending tests**. (From Keyser, *Materials Science in Engineering*, 4th Edition, © 1986, p. 88. Adapted by permission of Pearson Education, Inc., Upper Saddle River, NJ.)

R.R.Moore 為可逆式彎曲疲勞試驗之試片



*低於 fatigue limit，不會發生 fatigue，EX. steel、Fe、Ti alloy

注意差不多發生在 10^6 的地方



*沒有 fatigue limit，指定在某 cycle 壞掉的應力，EX. Non ferrous

Fatigue failure 的過程(延性金屬)

1. crack initiation

2. crack propagation

→ 巨觀特徵 → beachmarks (clamshell marks) → 由於 interruptions in the cycles

→ 微觀特徵 → striations → fatigue crack 的前進，during a single load cycle，其寬度與 stress range 的增加有關。

3. final failure

Smith 版本的 Fatigue failure 過程

1. crack initiation 塑性變形引起

2. slipband crack growth (第一階段)

slipband extrusions & intrusions，使表面產生 ridges & grooves，在加上 persistent slipbands 的傷害，使的裂紋在接近表面處發生，並延高剪應力方向往試片內部傳播，此時速率很慢，約 10^{-10} m/cycle

3. crack growth on planes of high tensile stress (第二階段)

Crack 方向轉成與最大拉伸應力方向垂直，較快速率傳播，約 10^{-6} m/cycle，且在穿過試片截面時產生 striation。

4. final failure

破壞表面一般可分為兩個區域

1. rubbing action 形成的平滑區域(海灘紋)

2. 負載過高 fracture process 形成的 rough region

疲勞破壞起始的地方 → 應力集中點

Factor

1.mean stress

2.surface 效應與處理

設計(EX.sharp corner->BAD)

表面處理(shot peening、case hardening-滲碳、polish 除去應力增加點)

3.環境效應

4.腐蝕

Creep

Time-dependent strain

金屬大約在 $0.4T_m$ 開始 creep 變的重要，再低溫時，擴散回復無法發生，只會出現第一階段潛變

strain-hardening-->creep rate ↓

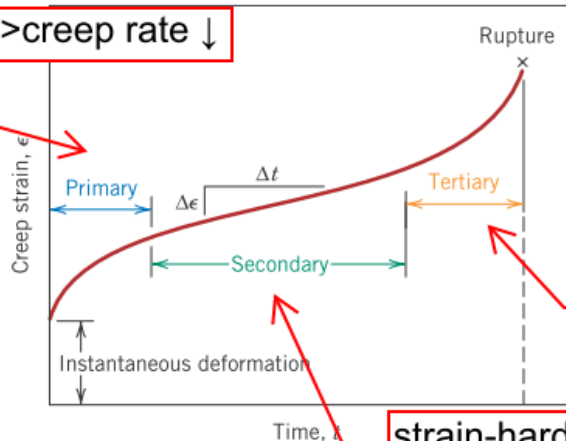


Figure 8.28 Typical creep curve of strain versus time at constant stress and constant elevated temperature. The minimum creep rate $\Delta\epsilon/\Delta t$ is the slope of the linear segment in the secondary region. Rupture lifetime t_r is the total time to rupture.

creep rate ↑
microstructure change-->rupture

strain-hardening-->平衡<--recovery
linear.steady-state creep

潛變試驗

第二階段的斜率為 min，在潛變試驗中，使最小潛變速率達 $10^{-5}\%/h$ 的應力，為常見的潛變標準

Creep-rupture(stress-rupture)試驗

原則跟前變試驗一樣，只是試驗必須進行到試片失效，負載較高，應力-斷裂時間圖曲線斜率改變，是由再結晶、氧化、腐蝕、相變化等因素引起。

Dependence of
creep strain rate
on stress

$$\dot{\epsilon}_s = K_1 \sigma^n$$

Dependence of
creep strain rate
on stress and
temperature (in K)

$$\dot{\epsilon}_s = K_2 \sigma^n \exp\left(-\frac{Q_c}{RT}\right)$$

The Larson–Miller
parameter—in terms
of temperature and
rupture lifetime

$$T(C + \log t_r)$$

T:溫度(K) t_r :rupture life time(hr) C 常數

*抗潛變的方法

1.固溶強化 2.dispersion strengthening→insoluble second phase *3.增加晶粒尺寸
(小晶粒有較多的晶界滑移)，或產生較優方向的晶粒結構